

ایجاد درگاه‌های کوانتومی تک-کیوتريت با روش گذار بی‌درروی سه پایه

ساره گلکار، مهدی امنیت‌طلب و سونیا ناصر

گروه فیزیک، دانشکده علوم، دانشگاه ارومیه

پست الکترونیکی: m.amniat-talab@urmia.ac.ir

(دربافت مقاله: ۱۳۹۱/۴/۲۱؛ دریافت نسخه نهایی: ۱۳۹۲/۱۲/۴)

چکیده

در این مقاله برای طراحی درگاه‌های تک-کیوتريت، از روش گذار بی‌درروی تحریکی رامان در دستگاه‌های سه پایه استفاده می‌کنیم، برای مطالعه روش گذار بی‌درروی تحریکی رامان، یک دستگاه شش ترازی، با پنج میدان تپی لیزری در نظر می‌گیریم. در این دستگاه با استفاده از تبدیل موریس-شور، سه تپ همسان غیر مرتبط با حالت اولیه به کار می‌بریم. ابعاد دستگاه با معروفی دو زاویه مستقل از زمان، کاهش می‌یابند و دستگاه پنج پایه به دستگاه سه پایه تبدیل می‌شود. با حذف فازهای دینامیکی و حفظ تأثیر فازهای هندسی، درگاه‌های ساده تک-کیوتريت را ایجاد می‌کنیم.

واژه‌های کلیدی: کیوتريت، تبدیل موریس-شور، گذار بی‌درروی تحریکی رامان، فاز دینامیکی، فاز هندسی

۱. مقدمه

کامپیوترهای کوانتومی، تجزیه عملیات در آنها به عملگرهای ساده اولیه و یا همان درگاه‌ها می‌باشد. ساده‌ترین درگاه‌ها، درگاه‌های تک-کیوبیتی می‌باشند، به طوری که فقط یک کیوبیت ورودی و یک کیوبیت خروجی دارند. این نوع درگاه‌ها به شکل یک ماتریس از گروه $(2^n)^n$ است. اگر تعداد کیوبیت‌هایی که درگاه به طور همزمان بر آنها عمل می‌کند، n باشد، درگاه یک ماتریس $2^n \times 2^n$ خواهد بود، که باقیتی متعلق به گروه $(2^n)^n$ باشد [۳]. اگر اطلاعات در یک دستگاه کوانتومی سه ترازی ذخیره شود، به اصطلاح می‌گویند واحد اطلاعات کیوتريت^۱ می‌باشد. حالتهای کیوتريت به وسیله سه بردار راست هنجار

در بحث پردازش اطلاعات کوانتومی [۱]، ایجاد درگاه‌های کوانتومی اهمیت روزافزون پیدا کرده است [۲]. در محاسبات کوانتومی، واحد ذخیره اطلاعات کوانتومی کیوبیت^۲ است که دو حالت می‌تواند داشته باشد. یک کیوبیت در دستگاه کوانتومی به وسیله دو بردار راست هنجار $|1\rangle$ و $|0\rangle$ معرفی می‌شود. درگاه کوانتومی، یک عملگر یکانی است که بر روی حالات ورودی مجموعه مشخصی از کیوبیت‌ها عمل می‌کند و سبب تحول در حالات دستگاه می‌شود. یکی از گامهای اساسی در عملی نمودن

۱. gate

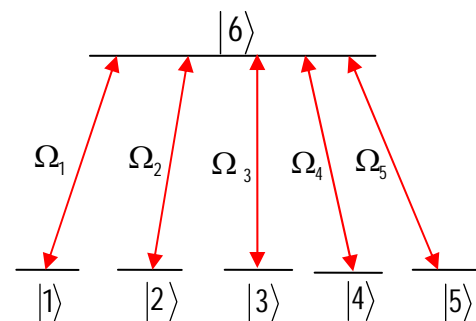
۲. quantum bit (qubit)

ترتیب تپ‌های غیرشوه‌دی^۳ رخ می‌دهد [۱۰ و ۱۱]. همچنین این روش یک طرح زورمند برای تبادل حالت‌های کوانتومی می‌باشد [۱۲]. روش استیرپ سه پایه^۴ که در ابتدا توسط اونانیان^۵ و همکارانش ارائه شد [۱۳]، یک بسط و تعمیم استیرپ است. در یک دنباله مناسب از تپ‌های پمپ و استوکس^۶، یک تپ لیزری سوم (کنترل^۷)، تراز برانگیخته را به تراز پایه جفت می‌کند. در این مقاله برای ایجاد درگاه‌های تک-کیوتربیت، از روش استیرپ در یک دستگاه شش ترازی با پنج تراز پایه تبعه‌گن استفاده می‌کنیم [۱۴]. به منظور کاهش ابعاد دستگاه شش ترازی، با استفاده از تبدیل موریس-شور^۸، از سه تپ همسان غیر مرتبط با حالت اولیه استفاده می‌کنیم که ابعاد دستگاه با معرفی دو زاویه مستقل از زمان، کاهش داده می‌شوند. بدین ترتیب دو حالت از حالت‌های زمینه از حالت‌های دیگر جدا می‌شوند. با یافتن هامیلتونی مؤثر در زیر فضای جدید و با به دست آوردن عملگر تحول زمانی که شامل فازهای دینامیکی و هندسی و زوایای آمیختگی می‌باشد، می‌توان درگاه‌های تک-کیوتربیت مختلفی را ایجاد کرد. همچنین با کنترل ترتیب و اندازه تپ‌های غیرشوه‌دی و شرایط اولیه متناظر با آن، حالت نهایی دستگاه از برهم‌نهی حالت‌های زمینه به دست می‌آید.

۲. ساختار هامیلتونی مؤثر دستگاه

در دستگاه شش ترازی که مطابق شکل ۱ می‌باشد، پنج حالت زمینه توسط پنج میدان لیزری تپی مستقل جفت شده‌اند و هر زوج از حالت‌های پایه، در تشدید دوفوتونی و حالت تحریکی در تشدید تکفوتونی قرار دارند.

معادله شرودینگر برای این دستگاه، با فرض $(1 = \hbar)$ به صورت زیر می‌باشد:



شکل ۱. الگوی جفت شدگی دستگاه پنج پایه.

$|0\rangle$ و $|1\rangle$ نمایش داده می‌شوند که حالت‌های پایه برای محاسبات کوانتومی‌اند. در سال‌های اخیر استفاده از کیوتربیت‌ها بیشتر به عنوان واحدهای اطلاعات کوانتومی به جای کیوبیت‌ها گزارش شده است [۴ و ۵]. به عنوان مثال از کیوتربیت‌ها برای انتقال دادن اطلاعات کوانتومی، محاسبات کوانتومی [۶ و ۷]، ذخیره‌سازی اطلاعات با ظرفیت بالا و ارتباطات کوانتومی با امنیت بسیار بالا [۸] و روش کوانتومی یون تله مایع [۹] استفاده شده است. درگاه‌های n -کیوتربیتی یون تله مایع [۹] استفاده شده است. درگاه‌های n -کیوتربیتی با این درگاه‌ها به طور همزمان بر آنها عمل می‌کنند. کیوتربیت‌ها به شکل یک ماتریس از گروه (3^n) U و کیوکوادریتی^۹ به ترتیب ماتریس‌های $3^n \times 3^n$ و $4^n \times 4^n$ می‌باشند که n تعداد کیوتربیت‌ها یا تعداد کیوکوادریت‌هایی می‌باشد که این درگاه‌ها به طور همزمان بر آنها عمل می‌کنند. کیوتربیت‌ها به شکل یک ماتریس از گروه (4^n) U هستند. در بحث کیوتربیت‌ها معمولاً یک دستگاه با سه حالت زمینه در نظر گرفته می‌شود، درصورتی که کیوبیت‌ها شامل دو حالت زمینه هستند. همچنین درگاه‌های کیوکوادریت در دستگاه‌هایی با چهار حالت زمینه در نظر گرفته می‌شوند.

روش گذار بی‌درروری تحریکی رامان^{۱۰} (استیرپ)، یکی از روش‌های ساده و مؤثر برای انتقال جمعیت در دستگاه‌های سه ترازی Λ -گونه می‌باشد. در این روش انتقال جمعیت بین دو حالت زمینه بدون جمعیت‌دار شدن تراز برانگیخته، با استفاده از

^۳. counterintuitive pulse

^۴. tripod

^۵. Unanyan

⁶. stokes pulse

⁷. control pulse

⁸. Morris-Shore

^۹. ququadrat

^{۱۰}. Stimulated Raman Adiabatic Passage

که شکل تپ‌ها، وابستگی‌های زمانی مختلف، دامنه‌ها و فازهای مختلف داشته باشند

$$\Omega_j(t) \equiv |\Omega_j(t)| e^{i\varphi_j}, \quad j=1,\dots,5 \quad (3)$$

در رابطه بالا، φ_j ‌ها فازهای ثابت و اولیه تپ‌ها می‌باشند. در این قسمت، هدف ما تبدیل حالت اولیه دستگاه در زمان t_i ، $|\Psi(t_i)\rangle = |1\rangle$ به یک برهم‌نهی همدوس و اختیاری از حالت‌های زمینه در انتهای اندرکنش در زمان t_f است. بنابراین برای حالت نهایی دستگاه داریم

$$|\Psi(t_f)\rangle = \sum_{j=1}^5 \alpha_j |j\rangle, \quad \sum_{j=1}^5 |\alpha_j|^2 = 1, \quad (4)$$

در اینجا فرض می‌کنیم سه تپی که با حالت اولیه مرتبط نیستند، یعنی تپ‌های $\Omega_5, \Omega_4, \Omega_3$ ، وابستگی زمانی یکسانی داشته باشند. می‌توان دو زاویه مستقل از زمان j θ_j را ($0 \leq \theta_j < \frac{\pi}{2}$) به

صورت زیر تعریف کرد

$$\frac{|\Omega_4(t)|}{|\Omega_3(t)|} = \tan \theta_1, \quad (\text{الف})$$

$$\frac{|\Omega_5(t)|}{\sqrt{|\Omega_3(t)|^2 + |\Omega_4(t)|^2}} = \tan \theta_2, \quad (\text{ب})$$

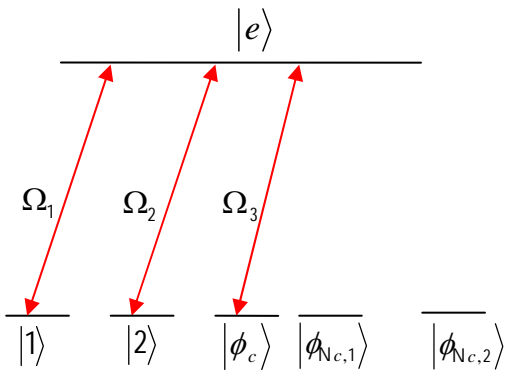
طبق تبدیل موریس-شور (MS) [۱۴]، می‌توان پایه‌ای یافت که دو حالت را از حالت‌های دیگر جدا نماید [۱۵]، مطابق شکل ۲. چنان‌itud تبدیل مستقل از زمانی برای یک دستگاه شش ترازی برابر است با:

$$T_5 = \begin{bmatrix} 1 & 0 & 0 & 0 & 0 & 0 \\ 0 & 1 & 0 & 0 & 0 & 0 \\ 0 & 0 & \cos \theta_1 \cos \theta_2 & 0 & -\sin \theta_1 & \cos \theta_1 \sin \theta_2 \\ 0 & 0 & e^{i\varphi_{43}} \sin \theta_1 \cos \theta_2 & 0 & e^{i\varphi_{43}} \cos \theta_1 & e^{i\varphi_{43}} \sin \theta_1 \sin \theta_2 \\ 0 & 0 & e^{i\varphi_{53}} \sin \theta_2 & 0 & 0 & -e^{i\varphi_{53}} \cos \theta_2 \\ 0 & 0 & 0 & 1 & 0 & 0 \end{bmatrix}. \quad (6)$$

$$|\varphi_{Nc,1}\rangle = -\sin \theta_1 |3\rangle + e^{i\varphi_{43}} \cos \theta_1 |4\rangle, \quad (\text{الف})$$

$$|\varphi_{Nc,2}\rangle = \cos \theta_1 \sin \theta_2 |3\rangle + e^{i\varphi_{43}} \sin \theta_1 \sin \theta_2 |4\rangle - e^{i\varphi_{53}} \cos \theta_2 |5\rangle. \quad (\text{ب})$$

بدین ترتیب هامیلتونی تبدیل یافته $T_5^\dagger H_5(t) T_5$ ، برای دستگاهی که به یک دستگاه چهار ترازی (سه پایه) در زیر



شکل ۲. الگوی جفت شدگی سیستم پنج پایه، در پایه جدید که دو حالت آن جدا شده است و با هیچ حالت دیگری جفت شدگی ندارد.

$$i \frac{\partial}{\partial t} |\Psi(t)\rangle = H_5(t) |\Psi(t)\rangle. \quad (1)$$

هامیلتونی مؤثر دستگاه شش ترازی در تقریب موج چرخان^۱ عبارت است از:

$$H_5(t) = \frac{1}{2} \begin{bmatrix} 0 & 0 & 0 & 0 & 0 & \Omega_1 \\ 0 & 0 & 0 & 0 & 0 & \Omega_2 \\ 0 & 0 & 0 & 0 & 0 & \Omega_3 \\ 0 & 0 & 0 & 0 & 0 & \Omega_4 \\ 0 & 0 & 0 & 0 & 0 & \Omega_5 \\ \Omega_1^* & \Omega_2^* & \Omega_3^* & \Omega_4^* & \Omega_5^* & 0 \end{bmatrix} \quad (2)$$

فرکانس‌های رایی مربوط به جفت شدگی‌های بین حالات پایه و حالت برانگیخته به صورت رابطه (۳) می‌باشد. فرض می‌کنیم

در رابطه (۶)، $\varphi_{j,3} = \varphi_j - \varphi_3$ ، $j = 4, 5$ می‌باشد. به وسیله این تبدیل می‌توان دستگاهی معادل با چهار حالت و دو حالت جدا شده (حالت تاریک) ساخت، این دو حالت تاریک که در دو ستون آخر تبدیل T_5 قرار گرفته‌اند، عبارتند از:

^۱. Rotating Wave Approximation

به صورت زیر:

$$\tan \vartheta(t) = \frac{|\Omega_1(t)|}{|\Omega_C(t)|}, \quad 0 \leq \vartheta < \frac{\pi}{2}, \quad (12\text{-الف})$$

$$\tan \phi(t) = \frac{|\Omega_2(t)|}{\sqrt{|\Omega_1(t)|^2 + |\Omega_C(t)|^2}}, \quad 0 \leq \phi < \frac{\pi}{2}. \quad (12\text{-ب})$$

ویژه بردارهای متناظر با این ویژه مقادیر، تعیین می‌شوند.
حالاتی متناظر با ویژه مقادیر صفر یا حالت‌های تاریک^۱، عبارتند از:

$$|\psi_1(t)\rangle = \begin{bmatrix} \cos \vartheta(t) \\ 0 \\ -e^{i\varphi_3} \sin \vartheta(t) \\ 0 \end{bmatrix}, \quad (13)$$

$$|\psi_2(t)\rangle = \begin{bmatrix} \sin \vartheta(t) \sin \phi(t) \\ -e^{i\varphi_2} \cos \phi(t) \\ e^{i\varphi_3} \cos \vartheta(t) \sin \phi(t) \\ 0 \end{bmatrix},$$

و حالاتی روشن متناظر با ویژه مقادیر غیر صفر، عبارتند از:

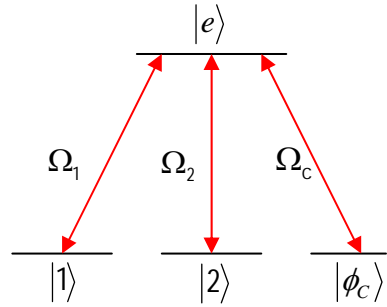
$$|\psi_+(t)\rangle = \frac{1}{\sqrt{2}} \begin{bmatrix} \sin \vartheta(t) \cos \phi(t) \\ e^{i\varphi_2} \sin \phi(t) \\ e^{i\varphi_3} \cos \vartheta(t) \cos \phi(t) \\ 1 \end{bmatrix}, \quad (14)$$

$$|\psi_-(t)\rangle = \frac{1}{\sqrt{2}} \begin{bmatrix} \sin \vartheta(t) \cos \phi(t) \\ e^{i\varphi_2} \sin \phi(t) \\ e^{i\varphi_3} \cos \vartheta(t) \cos \phi(t) \\ -1 \end{bmatrix},$$

۳. هامیلتونی بی درروی دستگاه در پایه‌های جدید

تبديل $S(t)$ که تبدیلی یکانی بین حالاتی ایجاد کننده زیر فضای $S_T = \{|1\rangle, |2\rangle, |\varphi_c\rangle, |e\rangle\}$ و حالاتی بی دررو می‌باشد،

به صورت زیر نوشته می‌شود



شکل ۳. الگوی جفت شدگی سیستم پنج پایه کاهش یافته به سیستم سه پایه در زیر فضای جدید.

فضای جدید $S_T = \{|1\rangle, |2\rangle, |\varphi_c\rangle, |e\rangle\}$ ، مطابق شکل ۳، کاهش یافته است، عبارت است از:

$$H_T(t) = T_5^+ H_5(t) T_5$$

$$= \frac{1}{2} \begin{bmatrix} 0 & 0 & 0 & \Omega_1(t) \\ 0 & 0 & 0 & \Omega_2(t) \\ 0 & 0 & 0 & \Omega_C(t) \\ \Omega_1^*(t) & \Omega_2^*(t) & \Omega_C^*(t) & 0 \end{bmatrix}. \quad (8)$$

در به دست آوردن رابطه بالا توجه داشته باشید که $\Omega_5, \Omega_4, \Omega_3$ وابستگی زمانی یکسانی دارند ولی می‌توانند دامنه‌های متفاوتی داشته باشند. در رابطه (۸)، $\Omega_C(t)$ به صورت زیر تعریف می‌شود:

$$\Omega_C(t) = \frac{\Omega_3(t)}{\cos \theta_1 \cos \theta_2}. \quad (9)$$

در زیر فضای S_T حالت جفت شده $|\varphi_c\rangle$ ، برابر است با [۱۵]

$$|\varphi_c\rangle = \cos \theta_1 \cos \theta_2 |3\rangle + e^{i\varphi_{43}} \sin \theta_1 \cos \theta_2 |4\rangle + e^{i\varphi_{53}} \sin \theta_2 |5\rangle. \quad (10)$$

در رابطه (۱۰) مرجع فازی را به صورت $\varphi_1 \equiv \arg[\Omega_1(t)] = 0$ ، به کار می‌بریم دستگاه سه پایه مؤثر به دست آمده در زیر فضای جدید دارای سه ویژه مقدار است که دو تای آنها تبهگنی دارند

$$\lambda_1(t) = \lambda_2(t) = 0, \quad \lambda_+(t) = \frac{\Omega(t)}{2} = -\lambda_-(t), \quad (11)$$

در رابطه بالا می‌باشد. با تعریف زوایای آمیختگی وابسته به زمان $(\vartheta(t), \phi(t), \vartheta(t))$

^۱. dark state

$$S(t) = (\lvert v_1(t) \rangle, \lvert v_2(t) \rangle, \lvert v_+(t) \rangle, \lvert v_-(t) \rangle)$$

$$= \begin{bmatrix} \cos \vartheta(t) & \sin \vartheta(t) \sin \phi(t) & \frac{1}{\sqrt{2}} \sin \vartheta(t) \cos \phi(t) & \frac{1}{\sqrt{2}} \sin \vartheta(t) \cos \phi(t) \\ 0 & -\cos \phi(t) e^{i\varphi_2} & \frac{1}{\sqrt{2}} \sin \phi(t) e^{i\varphi_2} & \frac{1}{\sqrt{2}} \sin \phi(t) e^{i\varphi_2} \\ -\sin \vartheta(t) e^{i\varphi_3} & \cos \vartheta(t) \sin \phi(t) e^{i\varphi_3} & \frac{1}{\sqrt{2}} \cos \vartheta(t) \cos \phi(t) e^{i\varphi_3} & \frac{1}{\sqrt{2}} \cos \vartheta(t) \cos \phi(t) e^{i\varphi_3} \\ 0 & 0 & \frac{1}{\sqrt{2}} & -\frac{1}{\sqrt{2}} \end{bmatrix}. \quad (15)$$

هستند، صرف نظر نموده ولی گذارهای بین حالت‌های تبھگن بی دررو را به حساب می‌آوریم. شرایط تقریب گذار بی دررو

عبارتند از

$$\left| \frac{\dot{\phi}}{\sqrt{2}} \right| \ll \frac{\Omega}{2}, \quad (20\text{-الف})$$

$$\left| \frac{\dot{\vartheta} \cos \phi(t)}{\sqrt{2}} \right| \ll \frac{\Omega}{2}. \quad (20\text{-ب})$$

در این صورت خواهیم داشت

$$H_T^{ad}(t) = \begin{bmatrix} 0 & -i\dot{\vartheta} \sin \phi(t) & 0 & 0 \\ i\dot{\vartheta} \sin \phi(t) & 0 & 0 & 0 \\ 0 & 0 & \frac{\Omega(t)}{2} & 0 \\ 0 & 0 & 0 & -\frac{\Omega(t)}{2} \end{bmatrix}. \quad (21)$$

۴. عملگر تحول زمانی در شرایط تقریب بی دررو

بر اساس هامیلتونی (۲۱) عملگر تحول زمانی در شرایط تقریب

بی دررو به صورت زیر به دست می‌آید:

$$U_T^{ad}(t, t_i) = \exp[-i \int_{t_i}^t H_T^{ad}(s) ds]$$

$$= \begin{bmatrix} \cos \gamma(t) & -\sin \gamma(t) & 0 & 0 \\ \sin \gamma(t) & \cos \gamma(t) & 0 & 0 \\ 0 & 0 & e^{-i\delta(t)} & 0 \\ 0 & 0 & 0 & e^{+i\delta(t)} \end{bmatrix}, \quad (22)$$

که در آن $\gamma(t)$ و $\delta(t)$ به ترتیب فازهای هندسی و دینامیکی

هستند که طبق روابط زیر تعریف می‌شوند:

$$\gamma(t) = \int_{t_i}^t ds \dot{\vartheta}(s) \sin \phi(s), \quad (23)$$

$$\delta(t) = \frac{1}{2} \int_{t_i}^t \Omega(s) ds. \quad (24)$$

از آنجا که می‌دانیم دینامیک متناظر با هامیلتونی بی دررو عبارت است از

$$\frac{d}{dt} |\Phi_T(t)\rangle = -i H_T^{ad}(t) |\Phi_T(t)\rangle, \quad (16)$$

و همچنین بردار حالت $|\Psi_T(t)\rangle$ در زیر فضای S_T از معادله شروع دینگر زیر تبعیت می‌کند

$$\frac{d}{dt} |\Psi(t)\rangle = -i H_T(t) |\Psi_T(t)\rangle, \quad (17)$$

با استفاده از رابطه بین $|\Phi_T(t)\rangle$ متناظر با هامیلتونی بی درروی $H_T^{ad}(t)$ ، و بردار حالت $|\Psi_T(t)\rangle$ متناظر با هامیلتونی مؤثر $H_T(t)$ ، توسط تبدیل یکانی $S(t)$ ، که به شکل زیر می‌باشد:

$$|\Psi_T(t)\rangle = S(t) |\Phi_T(t)\rangle, \quad (18)$$

هامیلتونی در پایه‌های بی دررو، به صورت زیر به دست می‌آید

$$H_T^{ad}(t) = S^+(t) H_T(t) S(t) - i S_T^+(t) \frac{\partial S(t)}{\partial t} =$$

$$= \begin{bmatrix} 0 & -i\dot{\vartheta} \sin \phi(t) & \frac{-i\dot{\vartheta} \cos \phi(t)}{\sqrt{2}} & \frac{-i}{\sqrt{2}} \dot{\vartheta} \cos \phi(t) \\ i\dot{\vartheta} \sin \phi(t) & 0 & \frac{i}{\sqrt{2}} \dot{\phi} & \frac{i}{\sqrt{2}} \dot{\phi} \\ \frac{i}{\sqrt{2}} \dot{\vartheta} \cos \phi(t) & \frac{-i}{\sqrt{2}} \dot{\phi} & \frac{\Omega(t)}{2} & 0 \\ \frac{i}{\sqrt{2}} \dot{\vartheta} \cos \phi(t) & \frac{-i}{\sqrt{2}} \dot{\phi} & 0 & \frac{\Omega(t)}{2} \end{bmatrix}. \quad (19)$$

در اینجا در تقریب بی دررو، از مشتق زمانی زوایای آمیختگی $\phi(t), \vartheta(t)$ که در مقایسه با اختلاف ویژه مقادیر $\frac{\Omega}{2}$ کوچک

$$S(t_f) = \begin{bmatrix} 0 & \sin \phi_f & \frac{1}{\sqrt{2}} \cos \phi_f & \frac{1}{\sqrt{2}} \cos \phi_f \\ 0 & -\cos \phi_f e^{i\varphi_2} & \frac{1}{\sqrt{2}} \sin \phi_f e^{i\varphi_2} & \frac{1}{\sqrt{2}} \sin \phi_f e^{i\varphi_2} \\ -e^{i\varphi_3} & 0 & 0 & 0 \\ 0 & 0 & \frac{1}{\sqrt{2}} & \frac{-1}{\sqrt{2}} \end{bmatrix} \quad (27)$$

برای عملگر تحول زمانی مؤثر و حالت دستگاه در هر لحظه از زمان می‌توان نوشت:

$$U_T(t, t_i) = S(t) U_T^{ad}(t, t_i) S^+(t_i), \quad (28)$$

$$|\Psi_T(t)\rangle = U_T(t, t_i) |\Psi(t_i)\rangle. \quad (29)$$

با قرار دادن روابط (۲۶)، (۲۷) و (۲۸) در (۲۹) و با قرار دادن

$(t=t_f)$ عملگر تحول زمانی مؤثر عبارت است از:

$$U_T(t_f, t_i) = \begin{bmatrix} \sin \phi_f \sin \gamma_f & -\sin \phi_f \cos \gamma_f e^{-i\varphi_2} & \cos \phi_f \cos \delta_f e^{-i\varphi_3} & -i \cos \phi_f \sin \delta_f \\ -\cos \phi_f \sin \gamma_f e^{i\varphi_2} & \cos \phi_f \cos \gamma_f & \sin \phi_f \cos \delta_f e^{i(\varphi_2-\varphi_3)} & -i \sin \phi_f \sin \delta_f e^{i\varphi_2} \\ -\cos \gamma_f e^{i\varphi_3} & -\sin \gamma_f e^{i(\varphi_3-\varphi_2)} & 0 & 0 \\ 0 & 0 & -i \sin \delta_f e^{-i\varphi_3} & \cos \delta_f \end{bmatrix} \quad (30)$$

تغییرات کوچک پارامترهای وابسته به زمان هامیلتونی حساس نیست و فقط به هندسه مسیر بسته حرکت دستگاه در فضای پارامتر متناظر با دستگاه بستگی دارد و وجه تسمیه آن به همین دلیل است. کترول فاز هندسی لازم می‌دارد که تحول زمانی دستگاه بی دررو بوده و ترجیحاً آن ویژه بردار لحظه‌ای را دنبال کند که با ویژه مقدار صفر متناظر است. بدین ترتیب فاز دینامیکی که کترول آن بسیار مشکل است، خود به خود حذف می‌شود [۱۶]. محاسبات عددی تحول زمانی جمعیت دستگاه نشان می‌دهد که فاز هندسی به نسبت فرکانس رابی بیشینه و تأخیر زمانی τ بین Ω_2 و تپهای دیگر بستگی دارد. برای شرط اولیه $|\Psi(t_i)\rangle = |1\rangle$ که در زیر فضای جدید هم متناظر است با $|\Psi_T(t_i)\rangle = |1\rangle$ و با استفاده از (۲۹) و (۳۰)، حالت نهایی به شکل زیر به دست می‌آید:

حال طبق ترتیب تپی غیر شهودی، ابتدا تپهای $\Omega_1(t), \Omega_2(t), \Omega_3(t), \Omega_4(t), \Omega_5(t)$ روشن می‌شوند. بدین ترتیب با استفاده از روابط (۱۲) برای زوایای آمیختگی اولیه و نهایی خواهیم داشت:

$$\theta(t_i) = 0, \quad \phi(t_i) = 0, \quad \theta(t_f) = \frac{\pi}{2}. \quad (25)$$

با مقادیر فوق، تبدیل یکانی $S(t)$ در زمان‌های اولیه t_i و نهایی t_f به صورت زیر نوشته می‌شود:

$$S(t_i) = \begin{bmatrix} 1 & 0 & 0 & 0 \\ 0 & -e^{i\varphi_2} & 0 & 0 \\ 0 & 0 & \frac{e^{i\varphi_3}}{\sqrt{2}} & \frac{e^{i\varphi_3}}{\sqrt{2}} \\ 0 & 0 & \frac{1}{\sqrt{2}} & \frac{-1}{\sqrt{2}} \end{bmatrix} \quad (26)$$

که در آن $\phi_f \equiv \phi(t_f)$ ، $\gamma_f \equiv \gamma(t_f)$ و $\delta_f \equiv \delta(t_f)$ می‌باشند.

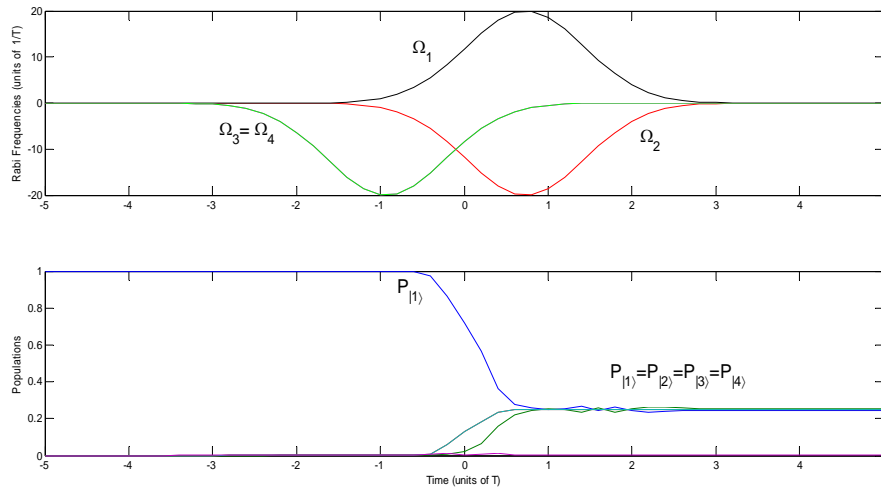
۵. برهمنهی حالت‌های زمینه توسط استیرپ

حضور فاز هندسی (t) ، وابسته به وجود سه حالت تاریک تبعه‌گن کلی از دستگاه، بدین صورت بیان می‌گردد:

$$\gamma_f = \int_{t_i}^{t_f} ds \dot{\vartheta}(s) \sin \phi(s) = \oint_C d\theta \sin \phi \quad (31)$$

$$= \oint_C \frac{|\Omega_2| (|\Omega_C| d |\Omega_1| - |\Omega_1| d |\Omega_C|)}{(|\Omega_1|^2 + |\Omega_C|^2) \sqrt{|\Omega_1|^2 + |\Omega_2|^2 + |\Omega_C|^2}}$$

مسیر بسته‌ای در فضای سه بعدی تشکیل شده از سه پارامتر وابسته به زمان $|\Omega_1|$ ، $|\Omega_2|$ و $|\Omega_C|$ می‌باشد. مسیر متناظر با دستگاه در این فضا، از نقطه شروع شده و در همین نقطه هم پایان می‌یابد. فاز هندسی یا فاز هولونومیک، نسبت به



شکل ۴. (رنگی در نسخه الکترونیکی) تحول زمانی پالس‌ها (بالا) و جمعیت (پایین) در سیستم پنج ترازی با در نظر گرفتن پارامترهای $T = 1$ ، $\Omega_0 = 20$ و $\tau = 0.84$ و بر اساس پالس‌های (۳۶) و (۳۷).

حالات زمینه با دامنه‌های مساوی به دست خواهد آمد

$$|\psi(t_f)\rangle = \frac{1}{2} [|1\rangle + |2\rangle + |3\rangle + |4\rangle]. \quad (35)$$

برای برآورده کردن شرایط (۳۴) از تپ‌های گاؤسی به صورت زیر استفاده می‌نماییم:

$$\Omega_1(t) = -\Omega_2(t) = \Omega_0(t) e^{-[(t-\tau)/T]^2} \quad (36)$$

$$\Omega_3(t) = \Omega_4(t) = -\Omega_0(t) e^{-[(t+\tau)/T]^2} \quad (37)$$

Ω_0 ، Ω_1 و Ω_2 ، که به ترتیب فرکانس‌های بیشینه رابی، تاخیر زمانی بین تپ‌های پمپی و استوکس و پهنانی تپی می‌باشند، به صورت $T = 1$ ، $\Omega_0 = 20$ و $\tau = 0.84$ انتخاب شده‌اند. ملاحظه می‌شود که جمعیت از حالت اولیه به یک برهم‌نهی از چهار حالت پایه منتقل شده است.

۶. ایجاد درگاههای کوانتومی تک-کیوتزیت

کنترل فاز هندسی، لازم می‌دارد که تحول زمانی دستگاه، بی‌دررو بوده و ترجیح‌آن ویژه بردار لحظه‌ای را دنبال کند که با ویژه مقدار صفر متناظر است. بدین ترتیب فاز دینامیکی که کنترل آن بسیار مشکل است، خود به خود حذف می‌شود. ویژه بردارهای لحظه‌ای، هامیلتونی دستگاه که متناظر با ویژه مقدار صفر هستند و معمولاً مؤلفه‌ای از ترازهای برانگیخته دستگاه

$$|\Psi_T(t_f)\rangle = U_T(t_f, t_i) |1\rangle = \sin \gamma_f [\sin \phi_f |1\rangle - e^{i\varphi_2} \cos \phi_f |2\rangle] - e^{i\varphi_3} \cos \gamma_f |\phi_c\rangle \quad (32)$$

بنابراین حالت نهایی دستگاه در پایه‌های اصلی عبارت خواهد بود از:

$$|\Psi(t_f)\rangle = \sin \gamma_f [\sin \phi_f |1\rangle - e^{i\varphi_2} \cos \phi_f |2\rangle] - \cos \gamma_f [e^{i\varphi_3} \cos \theta_1 \cos \theta_2 |3\rangle + e^{i\varphi_4} \sin \theta_1 \cos \theta_2 |4\rangle + e^{i\varphi_5} \sin \theta_2 |5\rangle] \quad (33)$$

که با یک برهم‌نهی به شکل رابطه (۴)، متناظر می‌باشد. با کنترل زوایای $(j=1,2)$ θ_j ، ϕ_f و γ_f می‌توان توسط گذار بی‌دررو، یک برهم‌نهی همدوس اختیاری از حالت‌های زمینه ایجاد نمود. ذکر این نکته ضروری است که با توجه به اینکه یک برهم‌نهی از حالت‌های $|3\rangle$ ، $|4\rangle$ و $|5\rangle$ می‌باشد، بنابراین عملگر تحول زمانی (۳۰) برای حالتی که تپ‌های Ω_5 و Ω_6 خاموش باشد نیز برقرار است. شکل ۴ مثالی از چنین برهم‌نهی را برای دستگاه چهار پایه نشان می‌دهد که ترتیب تپی آن، روابط زیر را برآورده می‌کند:

$$\theta = \frac{\pi}{2}, \quad \phi_f = \frac{\pi}{4}, \quad \gamma_f = \frac{\pi}{4}, \quad \varphi_2 = \varphi_3 = \varphi_4 = \pi \quad (34)$$

با قرار دادن مقادیر فوق در رابطه (۳۳)، یک برهم‌نهی از

در گاههای تک-کیوتربیت مختلفی را تحت زوایای مختلف برای زاویه آمیختگی ϕ_f ، که $\pi/2 \leq \phi_f < 0$ می‌باشد و برای فاز هندسی γ_f ، ایجاد کرد.

حالت اول: با در نظر گرفتن $\varphi_f = 0, \gamma_f = \frac{3\pi}{2}$ داریم:

$$Z_3(+1) = \begin{bmatrix} 0 & 0 & 1 \\ 1 & 0 & 0 \\ 0 & 1 & 0 \end{bmatrix} \quad (40)$$

در رابطه (۴۰)، $Z_3(+1)$ یک عملگر تک-کیوتربیت می‌باشد. اگر فرض کنیم که حالت اولیه دستگاه به ترتیب حالت‌های $|0\rangle$ ، $|1\rangle$ و $|2\rangle$ باشد که این حالت‌ها متناظر با $[1 \ 0 \ 0]^T = |0\rangle$ ، $[0 \ 1 \ 0]^T = |1\rangle$ و $[0 \ 0 \ 1]^T = |2\rangle$ می‌باشند، با تأثیر دادن این حالت‌های اولیه بر روی درگاه $(+1)$ ، $Z_3(+1)$ حالت‌های نهایی دستگاه به ترتیب به صورت $|0\rangle$ ، $|1\rangle$ و $|2\rangle$ تغییر می‌یابند، به عبارتی حالت‌های کیوتربیت به وسیله کت $|1\rangle$ به صورت رابطه (۴۱) جایگشت پیدا می‌کنند

$$\begin{aligned} Z_3(+1)|0\rangle &= |1\rangle, \\ Z_3(+1)|1\rangle &= |2\rangle, \\ Z_3(+1)|2\rangle &= |0\rangle. \end{aligned} \quad (41)$$

حالت دوم: اینکه با در نظر گرفتن $\varphi_f = \pi/2$ ، $\gamma_f = \pi$ ، یکی دیگر از درگاههای تک-کیوتربیت، $Z_3(+2)$ را می‌توان به دست آورد:

$$Z_3(+2) = \begin{bmatrix} 0 & 1 & 0 \\ 0 & 0 & 1 \\ 1 & 0 & 0 \end{bmatrix}. \quad (42)$$

با تأثیر دادن $Z_3(+2)$ روی حالت‌های اولیه تعریف شده، حالت‌های نهایی به صورت زیر به دست می‌آیند:

$$Z_3(+2)|0\rangle = |2\rangle, \quad Z_3(+2)|1\rangle = |0\rangle, \quad Z_3(+2)|2\rangle = |1\rangle \quad (43)$$

حالت سوم: همچنین با در نظر گرفتن $\varphi_f = \pi/4$ ، $\gamma_f = \pi$ ، می‌توان به یکی از درگاههای هادامارد^۱ برای تک-کیوتربیت رسید:

$$H^{(01)} = \frac{1}{\sqrt{2}} \begin{bmatrix} 1 & 1 & 0 \\ 1 & -1 & 0 \\ 0 & 0 & \sqrt{2} \end{bmatrix}. \quad (44)$$

^۱. Hadamard

ندازند، به اصطلاح حالت‌های تاریک نامیده می‌شوند و به دلیل متناظر بودن با فاز دینامیکی صفر و عدم وجود گسیل خود به خودی، اهمیت زیادی در طراحی درگاههای کوانتومی دارند. در اینجا بعد از به دست آوردن عملگر تحول زمانی، به جای استفاده از حالت‌های تاریک، با تنظیم مساحت تپ، فاز دینامیکی را حذف می‌کنیم، یعنی $\delta_f = 0$. در رابطه (۳۰) با در نظر گرفتن $\delta_f = 0$ عملگر تحول زمانی به صورت رابطه (۳۸) خواهد شد که رابطه بین عملگر تحول زمانی فقط ما بین ترازوهای پایه برقرار می‌شود، به عبارتی تحول زمانی جمعیت دستگاه در زیر فضای مشکل از حالت‌های پایه، $|1\rangle$ تا $|5\rangle$ خواهد بود:

$$U_T(t_f, t_i) = \begin{bmatrix} \sin \phi_f \sin \gamma_f & -\sin \phi_f \cos \gamma_f & \cos \phi_f & 0 \\ -\cos \phi_f \sin \gamma_f & \cos \phi_f \cos \gamma_f & \sin \phi_f & 0 \\ -\cos \gamma_f & -\sin \gamma_f & 0 & 0 \\ 0 & 0 & 0 & 1 \end{bmatrix} \quad (38)$$

در رابطه (۳۸)، $\varphi = 2n\pi$ ، $n = 1, 2, \dots$ را قرار دادیم. با بلوکه در نظر گرفتن عملگر تحول زمانی، رابطه (۳۸) را می‌توان به یک ماتریس 3×3 یکانی تبدیل کرد. لذا به ازای $\delta_f = 0$ ، عملگر تحول زمانی به صورت زیر خواهد شد:

$$U_T(t_f, t_i) = \begin{bmatrix} \sin \phi_f \sin \gamma_f & -\sin \phi_f \cos \gamma_f & \cos \phi_f \\ -\cos \phi_f \sin \gamma_f & \cos \phi_f \cos \gamma_f & \sin \phi_f \\ -\cos \gamma_f & -\sin \gamma_f & 0 \end{bmatrix} \quad (39)$$

عملگر تحول زمانی در رابطه (۳۹) در زیر فضای حالت‌های $\{|1\rangle, |2\rangle, |\varphi_c\rangle\}$ نوشته شده است که $|\varphi_c\rangle$ یک برهمنهی از حالت‌های پایه $|3\rangle, |4\rangle, |5\rangle$ به صورت $|\varphi_c\rangle = \cos \theta_1 \cos \theta_2 |3\rangle + \sin \theta_1 \cos \theta_2 |4\rangle + \sin \theta_2 |5\rangle$ یک دستگاه چهار پایه می‌باشد.

کیوتربیت‌ها معمولاً یک دستگاه با سه حالت زمینه در نظر گرفته می‌شوند، حالت‌های کیوتربیت به وسیله سه بردار $|0\rangle$ ، $|1\rangle$ و $|2\rangle$ نمایش داده می‌شوند. ساده‌ترین درگاههای n -کیوتربیتی، درگاههای تک-کیوتربیت می‌باشند که به شکل یک ماتریس 3×3 نمایش داده می‌شوند. در این قسمت می‌توان

می‌رسیم. نتایج بالا را می‌توان برای درگاه‌های کوانتومی کیوکوادریت، در دستگاهی با چهار حالت زمینه که دارای شکل ماتریسی 4×4 می‌باشند، تعیین داد. از آنجایی که دستگاه مورد بررسی ما یک دستگاه پنج پایه می‌باشد، می‌توان این دستگاه پنج پایه را به دستگاه N پایه تعیین داد و درگاه‌های کوانتومی کیونیت^۱ را طراحی کرد. درگاه‌های n -کیونیت به شکل یک ماتریس از نوع $N^n \times N^n$ و از گروه $U(N^n)$ می‌باشند. با طراحی درگاه‌های کوانتومی n -کیوتربیت، n -کیوکوادریت و n -کیونیت می‌توان درگاه‌های کوانتومی مختلفی را ساخت. با توجه به آن که بعد درگاه کیونیت، N می‌باشد، می‌توان اطلاعات کوانتومی بیشتری را در آنها ذخیره کرد [۱۷-۱۹].

۷. نتیجه‌گیری

با طراحی متفاوت بسامدهای رابی دستگاه‌های چند پایه و تنظیم دقیق دامنه تپ‌ها و تأخیر زمانی آنها، می‌توان درگاه‌های کوانتومی متفاوت ولی ساده‌ای را در شرایط متفاوت ایجاد کرد. در واقع در این مقاله با انتخاب فازهای هندسی مناسب و با حذف کنترل شده فاز دینامیکی دستگاه، عملگر تحول زمانی به یک ماتریس 3×3 ، تبدیل می‌شود و توسط عملگر تحول زمانی به دست آمده، می‌توان به چند درگاه تک-کیوتربیت رسید. طراحی درگاه‌های کوانتومی تک-کیوتربیت، می‌تواند علاوه بر ساده‌سازی محاسبات در فرآیند پردازش اطلاعات کوانتومی، طراحی مدارهای کوانتومی با دقت و ظرفیت بالا را نیز میسر سازد. مزیت اصلی استفاده از روش گذار بی‌دررور آن است که تراز برانگیخته در طی تحول زمانی دستگاه جمعیت‌دار نمی‌شود بنابراین اثر ناهمدوسی ناشی از گسیل خودبه‌خودی اتمی بروز نمی‌کند. از طرفی روش گذار بی‌دررور زورمند است، یعنی جمعیت نهایی دستگاه نسبت به تغییرات جزیی پارامترهای وابسته به زمان هامیلتونی دستگاه و زوایای آمینتگی، حساس نیست.

حال اگر درگاه هادامارد $H^{(01)}$ را روی حالت‌های اولیه تعریف شده دستگاه، اثر دهیم به یک برهم‌نہی از حالت‌های زیر خواهیم رسید

$$\begin{aligned} H^{(01)}|0\rangle &= \frac{1}{\sqrt{2}}(|0\rangle + |1\rangle), \\ H^{(01)}|1\rangle &= \frac{1}{\sqrt{2}}(|0\rangle - |1\rangle), \\ H^{(01)}|2\rangle &= |2\rangle. \end{aligned} \quad (45)$$

حالت چهارم: برای رسیدن به یک درگاه هادامارد تک-کیوتربیت دیگر، بایستی $\varphi_f = \frac{\pi}{4}$ ، $\gamma_f = \frac{3\pi}{4}$ باشد، لذا داریم:

$$H = \frac{1}{2} \begin{bmatrix} \sqrt{2} & 1 & 1 \\ \sqrt{2} & -1 & -1 \\ 0 & \sqrt{2} & -\sqrt{2} \end{bmatrix}. \quad (46)$$

در رابطه بالا $H = H^{(01)} \times H^{(12)}$ می‌باشد، که $H^{(01)}$ و $H^{(12)}$ هر کدام درگاه‌های تک-کیوتربیت هادامارد می‌باشند. اگر H را روی حالت‌های اولیه، ذکر شده در بالا اعمال کنیم، به یک برهم‌نہی از حالت‌های زیر خواهیم رسید:

$$\begin{aligned} H|0\rangle &= \frac{1}{\sqrt{2}}(|0\rangle + |1\rangle), \\ H|1\rangle &= \frac{1}{2}(|0\rangle - |1\rangle + \sqrt{2}|2\rangle), \\ H|2\rangle &= \frac{1}{2}(|0\rangle - |1\rangle - \sqrt{2}|2\rangle) \end{aligned} \quad (47)$$

به این ترتیب مشاهده می‌کنیم که درگاه‌های کیوتربیت حالت‌های دستگاه را عوض می‌کنند، لذا از آنها برای پردازش اطلاعات کوانتومی استفاده می‌شود. از ترکیب کیوتربیت‌های معرفی شده، به راحتی می‌توان به درگاه‌های دیگری به صورت زیر رسید:

$$H^{(12)} = H^{(01)} \times H = \frac{1}{\sqrt{2}} \begin{bmatrix} \sqrt{2} & 0 & 0 \\ 0 & 1 & 1 \\ 0 & 1 & -1 \end{bmatrix}, \quad (48)$$

$$U_I = Z_3(+1) \times Z_3(+2) = \begin{bmatrix} 1 & 0 & 0 \\ 0 & 1 & 0 \\ 0 & 0 & 1 \end{bmatrix}. \quad (49)$$

در روابط (۴۸) و (۴۹)، $H^{(12)}$ به ترتیب درگاه‌های تک-کیوتربیت هادامارد و یکانی می‌باشند. در زیر فضای $\langle 1|, |2\rangle$

$$H_1 = \frac{1}{\sqrt{2}} \begin{bmatrix} 1 & 1 \\ 1 & -1 \end{bmatrix} H^{(12)} \quad (49)$$

مراجع

- (1995) 255.
11. C H Bennett, *Phys. Today* **48** (1995) 24.
 12. K Bergmann, H Theuer, and B W Shore, *Rev. Mod. Phys.* **70** (1998) 1003.
 13. R G Unanyan, M Fleischhuer, B W Shore, and K Bergmann, *Opt. Commun.* **155** (1998) 144.
 14. J R Morris and B W Shore, *Phys. Rev. A* **27** (1983) 906.
 15. E S Kyoseva and N V Vitanov, *Phys. Rev. A* **73** (2006) 023420.
 16. M V Berry, *Proc. R. Soc. London A* **392** (1984) 45.
 17. M Reck, A Zeilinger, H J Bernstein, and P Bertani, *Phys. Rev. Lett.* **73** (1994) 58.
 18. A Muthukrishnan and C R Stroud Jr, *Phys. Rev. A* **62** (2000) 052309.
 19. S S Bullock, D P O'Leary, and G K Brennen, *Phys. Rev. Lett.* **94** (2005) 230502.
 1. Y Makhlin, G Schon, and A Shnirman, *Rev. Mod. Phys.* **73** (2001) 357.
 2. M A Nielsen and I L Chuang, "Quantum Computation and Quantum Information", Cambridge University Press, Cambridge (2000).
 3. A Galindo and M A Martin-Delgado, *Rev. Mod. Phys.* **74** (2002) 383.
 4. D M Hugh, J Twamley, *New J. Phys.* **7** (2005) 174.
 5. Y Zhan *et al.*, *Opt. Commun.* **282** (2009) 4633.
 6. J Kempe and K B Whaley, *Phys. Rev. A* **65** (2002) 052330.
 7. R T Thew, K Nemoto, A G White, and W J Munro, *Phys. Rev. A* **6** (2002) 012303.
 8. C M Caves and G J Milburn, *Opt. Commun.* **179** (2000) 439.
 9. A Muthukrishnan and C R Stroud, *Phys. Rev. A* **62** (2000) 052309.
 10. D P Divincenzo, *Quantum Computation*, *Science* **270**